

自然河川の洪水追跡と貯溜量解釋

Flood routing and storage analysis in a streamflow

徐 承 德*
Seung Duk Su

目次

Summary

- I. 序言
- II. 河川の洪水追跡
 - a. 追跡の理論
 - b. 流出入流量圖の調整
- III. 머스킹감의 洪水追跡法解釋
 - a. 解釋の一般
 - 1) weighing factor x 의 計算
 - 2) storage constant k 의 計算
 - a. 類似한 追跡解釋法の紹介
- IV. 머스킹감 법에 의한 例解
 - a. 問題의 概述
 - b. 貯溜量計算 및 流量圖의 修正
 - a. 追跡에 必要한 諸係數의 算定
 - 1) x 및 k 값의 計算
 - 2) 追跡係數 c 의 算定
 - d. 洪水의 追跡
- V. 結言

Summary

flood routing is a process of calculating the flood hydrograph at a given point in a stream, given the corresponding flood hydrograph for some upstream point on the same stream.

Storage routing or analysis is a flood routing procedure based on consideration of the actual volumes of in flow to, out flow from, and storage in the reach being considered.

Flood routing in a river reach is very important for the designing spillway of reservoir and the incidental structures, flood mitigation, flood forecasting, and utilization of storage on agricultural and industrial

fields.

Many routing methods derived by Muskingum, Puls, Steinberg, Horton, Snyder, Clork, Nash (England), Laurenson(Australia), and Kimura(Japan) are being used in many Countries.

As the Muskingum flood routing method of the named above is mainly being used for the river routing, the writer introduces the Muskingum flood routing method and its application by using the storage factor K , weighing factor x and Muskingum routing Coefficient C (C_0 , C_1 , and C_2)

The procedures of stream flow routing are based on the law of continuity expressed in the storage equation

$$\bar{I} = \bar{O} = \Delta S$$

in terms of differentials,

$$\frac{ds}{dt} = I - O$$

Rewriting the above equation in terms of the known and desired factors and assuming that

$$(I_1 + I_2)/2 = I \text{ and } (O_1 + O_2)/2 = O,$$

$$\left(\frac{I_1 + I_2}{2}\right)T - \left(\frac{O_1 + O_2}{2}\right)T = S_2 - S_1$$

this equation is the form of the storage equation on which most of the common solution are based.

The Muskingum method is an example of an analytical approach to routing by using the equation

$$S = k[xI + (1-x)O] \text{ and fig 5}$$

The factor x and k are determined for the reach under study, and then the routing coefficient C (C_0 , C_1 , C_2) is determined by using the derived x and k too.

$$C_0 = -\frac{kx - 0.5T}{k - kx + 0.5T}, \quad C_1 = \frac{kx + 0.5T}{k - kx + 0.5T}$$

$$C_2 = \frac{k - kx - 0.5T}{k - kx + 0.5T}$$

where routing period T , should be smaller than storage factor k .

Summarising the above determined results, the working formula for routing is derived as

$$O_2 = C_0 I_2 + C_1 I_1 + C_2 O_1$$

$$C_0 + C_1 + C_2 = 1$$

*筆者 土聯, 農業土木研究所

I. 序 言

地表流出の一部는 純粹한 地表流出과 다른 部分은 地下에 滲入하여 地下水와 合流 또는 伏流現象에 依하여 低地帶의 河川區間에 達하여서는 無降雨期間에도 湧出現象을 나타내어 低降雨時에도 高流出率의 結果를 나타내기도 한다. 降水에서 부터 河川의 流出까지는 fig 1 과 같은 하나의 水文循環過程을 밟게 되는 것이다. 이러한 循環過程으로 부터 河川에 達하게 되는 洪水流出의 追跡에 대해서 過去 水文學의 先覺者들은 많은 方法을 研究 發表하였다. 이 中 代表的인 方法으로서는 머스킹감, 펄스, 슈나이더, 홀튼, 스타인버그, 베이담, 하야젠氏 등의 方法을 들 수 있고 이들 연구를 뒷받침 해가는 英國의 나쉬, 美國의 크라아크, 濠洲의 로벤슨 및 日本의 기무라 諸氏의 研究를 들 수 있다.

洪水調節方法中 貯水池의 洪水調節方法으로서 가장 많이 쓰이는 펄스方法의 理論 및 計算에 對해서는 本農林土木學會誌 六卷 第一號(1964. 5)의 23項에(土聯. 水資源開發部 金東萬 課長) 詳細히 紹介가 되어 있으므로 筆者는 貯水池 設計 및 洪水調節方法으로써 펄스方法(修正펄스법)이 가장 많이 使用되고 있는 反面에 自然河川의 洪水追跡과 그에 對한 貯溜量의 解釋 및 其他 流出量現象에 對해서는 머스킹감의 洪水追跡方法이 水文技術者에게 가장 많이 쓰이고 있다는 事實을 想起시키면서 本橋에서는 河川의 洪水追跡 및 貯溜量 解釋만을 數編의 文獻을 參考하여 解釋코져한다.

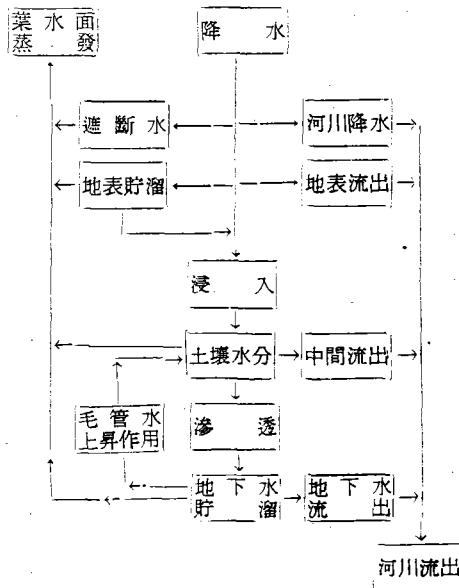
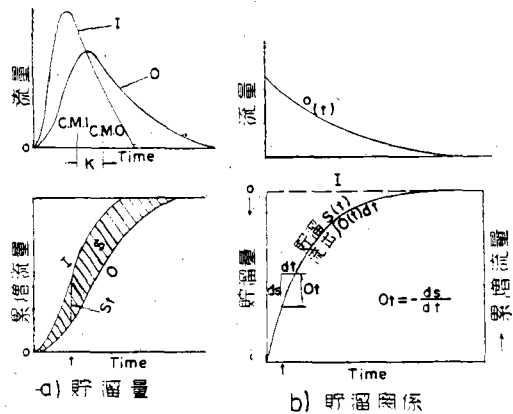


Fig 1. 水文循環

II. 河川의 洪水追跡

a. 追跡의 理論

河川의 洪水追跡이라함은 河川內에서 既知의 上流部 選點流量으로부터 이에 相關되는 同一河川의 下流部 地點의 洪水 流量을 計算하는 河川洪水量 計算過程을 말한다. 洪水調節은 降雨로 因하여 發生流入되는 流入量(inflow)와 時間的 增加와 이에 따라서 必然的으로 뒤따른 流出量(outflow)과 兩者間에 形成되는 貯溜量(storage) 即 一般的인 簡單한 式으로서는 貯溜量方程式으로 $\int I(t)dt - \int O(t)dt = S(t)$ 와 貯溜函數方程式으로 $K = \frac{ds}{do}$ 와 같이 表示되며 Fig 2 와 같은 圖解 釋을 볼 수 있다. 그리고 一般的인 應用方程式으로는 $I - O = \Delta S$, 即 $\left(\frac{I_1 + I_2}{2}\right)T - \left(\frac{O_1 + O_2}{2}\right)T = S_2 - S_1$ 의 形態를 이루는 한 過程을 뜻할 수 있으며 이러한 三者間에 이루어지는 數式을 이끌어 貯水池에 있어서는 餘水 吐 및 附帶水利構造物의 設計와 一般水文事業으로서는 洪水災害防止(flood mitigation) 洪水豫報(flood forecasting), 洪水被害對策 樹立 및 可用水源의 研究等에 크게 利用할 수가 있는 것이다.



- I: Inflow
- O: outflow
- C.M.I., C.M.O. = 流入 流出量의 무게重心
- S: 貯溜量
- K: 貯溜常數

Fig 2. 貯溜量 關係圖解

流量을 水位의 函數로 나타낼 수 있는 貯水池에서의 洪水追跡은 比較的 簡單히 行할 수 있지만 自然河川에서의 貯溜量은 單純히 流出量의 函數가 아니기 때문에 洪水追跡은 大端히 복잡하다.

河川의 洪水追跡은 河川을 流達區間別로 하여 進行하며 流達區間의 上下端에 位置해있는 水位觀測所와 地

形을考慮해가면서 한편으로 洪水波에 影響을 줄만한 支流流出(中間流出, Intermediate out flow)이 있을 때는 이를 合流點 區間의 下流部에 位置토록 區分하여야 하며 洪水波의 樣相은 洪水量이 流下함에 따라 그의 變化를 달리하기 때문에 洪水追跡의 精密度는 流達區間이 짧을 수록 精密하나 計算上의 雜業이 많으므로 알맞게 여러가지 洪水波의 影響, 流達區間의 地形의 現象 및 支流流出의 영향등을 考慮하여 區間別 洪水追跡을 適切히 行할것이다.

한편 洪水波가 通過할 때 各 時間의 背水曲線을 考慮하여 河床에 對하여 平行線의 아래에 있는 貯溜量을 台形貯溜(prism storage)라 부르며 이 線과 實際의 水面사이의 貯溜量을 錐形貯溜(wedge storage)라고 부른다.

그리해서 水位가 上昇할 때는 큰流出量이 生起기 前에 多量의 錐形貯溜가 있는것이며 水位下降期에는 流入量의 減少는 流出量의 減少보다 빠르고 따라서 錐形貯溜는 負가된다.

그런고로 河川의 洪水追跡으로는 充分히 錐形貯溜를 表示하는 關係式이 必要하며 이것은 流入量을 貯溜方程式의 變數로써 만드는것이 보통이다.

b. 流出入流量圖의 調整

一般的으로 同一河川의 二 選點에서의 流入量과 流出量의 樣相은 支流流出(又是 中間流出)의 影響이 그리크지 않고 急激한 水位狀態의 變化가 없다고 假定할 때에 다음 Fig 3에서 보는 바와 같이 流出入流量圖의 始點 t_s 에서는 流出入量을 同一視하고 또 이點은 二 流量圖의 終點 t_e 에서의 流入量과 流出量의 平均値와는 大略 같아야 된다는 것이다. 이러한 結論은 特히 後述할 머스킹강의 洪水追跡계수에 依한 河川洪水量追跡時에 顯著히 理論과 實際面에서 解釋이 되는 것이며 事實上 河川의 流達區間內에서는 必然的으로 支流流出이 있는것이 豫想됨으로 이상과 같은 理論은 結果的으로 流出量의 調整 다시 말해서 支流流出의 값을 調整해서 유출량에 附加計算하게 되는 結果를 가져오는것이다.

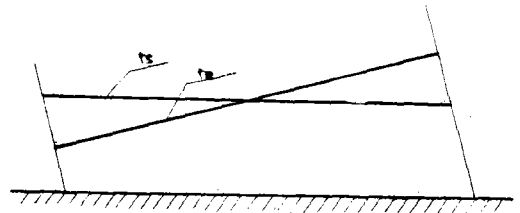


fig 3. 流出入流量의 調整圖

III. 머스킹강의 洪水追跡法 解釋

a. 解釋의 一般

自然河川의 洪水追跡方法으로써 가장 널리 使用되는 方法이며 이는 G. T. Mc Carthy가 美國의 머스킹강의 流域開發計劃에서 그 첫起源을 보게된 것이다. Mc Carthy는 河川의 한 區間에 對한 貯溜量을 다음과 같은 式으로 表示하였다.

$$S = \frac{b}{a} \left(xI^{m/n} + (1-x)O^{m/n} \right)$$

어느 河川區間에 對한 平均水位와 流量과의 關係를 $q = ag^n$ 라 표시하고, (g 는 平均수위) 그 區間에 對한 平均수위 貯溜量 關係를 $s = bg^m$ 로 表示하면 이를 整理해서 다음式을 얻을 수 있다.

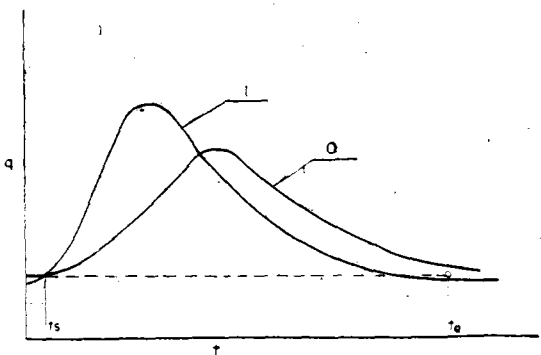
$$\text{即 } s = b \left(\frac{g}{a} \right)^{m/n} \text{ 다시 變形하여 } s = Kq^{m/n} \text{로 쓸수}$$

있으며 式中 q 는 그 河川區間에 對한 流量을 代表하는 數式이며 指數 m/n 은 meizer 및 Linsley氏는 하나의 理論的인 制限值로서 均一한 矩形水路에서는 0.6을 그리고 廣幅의 河川에서는 1보다 큰값을 취한다고 하나 머스킹강의 추적방법에서는 一般的으로 1을 使用하여 $s = K \cdot q$ 即 $s = K(xI + (1-x)O)$ 로 쓰고 있으며 이상의 方程式에서 追跡에 必要한 계수 x . K 는 다음 節에서와 같은 解釋方法으로 求한다.

1) 係數 x (weighing factor)의 計算

x 는 하나의 洪水追跡上에 있어서 流域性質과도 關係가 있는 流出入의 比重을 表示하는 계수(weighing factor)로서 一名 漸尖계수(attenuation factor)라고도 하며 一般的으로 이 계수는 0~1.0까지 變化可能한 것 이나 工學的인 應用面에서는 99.5% 程度까지는 이 값은 0.5보다 적은 값을 維持한다. 그리고 大概의 境遇 流入量의 影響이 없어 流出量 혼자만의 水文現象을 가지는 貯水池나 wedge storage(錐形貯溜)가 없는 溜水池形의 貯溜量 追跡에서는 이 값을 無視하여 $x=0$ 을 使用한다.

한편 支流의 流入量으로 因하여 上流部 流水區間이



洪水波의 영향을 받을 境遇는 x 는 零보다 커가는 特殊現象도 發見할 수가 있고 流出入의 影響이 同等한 境遇 다시 말해서 漸尖(Attenuation) 現象이 없고 순수한 同等變換(translation) 狀態만 있을 境遇 x 는 0.5의 값을 갖게 되나 一般的으로 普通河川의 境遇에 있어서는 $x=0.0\sim 0.3$ 또는 平均치로서 0.2를 使用하고 있다. 試算過程은 다음項 例解에서 說明한다.

2) 貯溜常數(Storage Constant) K 의 計算

K 는 貯溜常數로서 貯溜量과 流量의 比를 나타내며 單位로는

$L^3 = [K]L^3T^{-1}$ 에서 $[K]=T$ 로서 時間을 나타낸다.

實際적으로 볼때 K 는 大略적으로 所定の 河川區間을 通하여 흐르는 洪水波의 流下하는 時間과 같다고 말할 수 있으며 더욱 正確하게 말한다면 이는 流入總量의 重心(Center mass of Inflow)으로부터 流出總量의 重心(Center mass of Outflow)까지의 距離 即 時間을 말한다. (fig 4 참조)

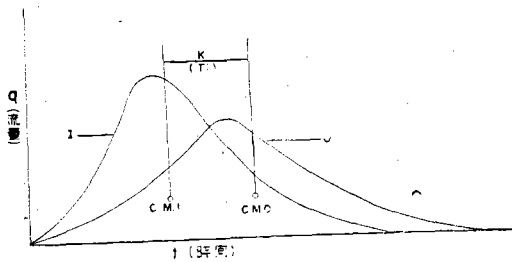


Fig 4. 貯溜常數 K 의 圖識

이를 濠洲 뉴우 시우스 웨일스工大의 로렌슨 박사는 다음과 같이 증명하고 있다.

먼저 連續方程式으로써

$$O = I - \frac{ds}{dt}$$

$$\text{即 } O = I - \frac{d}{dt} [K(xI + (1-x)O)]$$

그리고 流入總量의 重心에서부터 流出總量의 重心까지의 距離를 fig 4에서 K 대신 T_1 이라 놓자.

그러면

$$T_1 = \frac{\int_0^\infty O \cdot t dt}{\int_0^\infty O dt} - \frac{\int_0^\infty I \cdot t dt}{\int_0^\infty I dt}$$

다시 上式의 0 값을 代入하고

$$\int_0^\infty O dt = \int_0^\infty I dt \text{ 라 놓으면}$$

$$T_1 = \frac{\int_0^\infty I \cdot t dt - \int_0^\infty t \frac{d}{dt} [K(xI + (1-x)O)] dt - \int_0^\infty I \cdot t dt}{\int_0^\infty I dt}$$

$$= \frac{-K \int_0^\infty t \cdot \frac{d}{dt} [xI + (1-x)O] dt}{\int_0^\infty I dt}$$

上式을 部分別로 分子를 積分하면

$$T_1 = \frac{K}{\int_0^\infty I dt} \left\{ \int_0^\infty [xI + (1-x)O] dt - [t(xI + (1-x)O)]_0^\infty \right\}$$

그러면 괄호中 2項에 대해서는 그 값이 下限에서 零이 되면 結局에 上限에서도 無限대의 零의 값으로 수렴하므로 結局에 2項은 零이 되며 括弧中 前項에 대해서는 x 는 일정한 常數임으로 $\int_0^\infty I dt = \int_0^\infty O dt$ 그래서

$$\int_0^\infty [xI + (1-x)O] dt = \int_0^\infty I dt$$

∴ $T_1 = K$ 가 成立된다.

그리하여 過去の 洪水記錄이 없는 河川流域에서는 以上の 解釋과 같이 이 값을 洪水波의 流達時間과 같게 應用할 수가 있으며 過去の 洪水記錄值를 利用할 수가 있다면 S 와 각 假定值 x 에 대한 $[xI + (1-x)O]$ 의 關係式을 fig 5와 같이 그려서 K 와 x 의 값을 決定할 수가 있다.

머스킹값方法에서는 이曲線을 貯溜常數 K 와 等價의 勾配 $\frac{ds}{dq}$ 를 가지는 直線으로 假定하여서 S 와 $[xI + (1-x)O]$ 의 좌표에 가장 近似한 線形(linearity)을 形成하는 값에서 가장 알맞는 x 와 K 의 값이 決定되는 것이다.

(後述 例解参照)

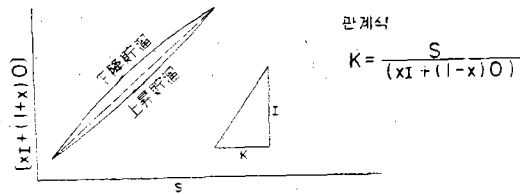


Fig 5 머스킹값 貯溜常數 K 試驗圖

그리고 追跡의 應用方程式 (operating-equation)은 다음과 같이 解釋을 얻었다.

$$S = K[xI + (1-x)O] \dots \dots \dots \text{貯溜方程式}$$

다시 함수式으로 표시해서

$S = f(I \cdot O)$ 로 表示하여 $S-q$ 의 하나의 線形關係를 가질 수가 있다.

그러면 前述한바 있는

$$\left(\frac{I_1 + I_2}{2}\right)T - \left(\frac{O_1 + O_2}{2}\right)T = S_2 - S_1 \text{의 式에 앞의 貯}$$

溜方程式을 代入하면

$$\left(\frac{I_1 + I_2}{2}\right)T - \left(\frac{O_1 + O_2}{2}\right)T$$

$$= K[xI_2 + (1-x)O_2] - K[xI_1 + (1-x)O_1]$$

이를 다시 정리하면

$$O_2(-0.5T - K + Kx) = I_1(Kx - 0.5T) + I_1(-Kx - 0.5T) + O_1(-K + Kx + 0.5T)$$

또는 $O_2 = C_0 \cdot I_2 + C_1 \cdot I_1 + C_2 \cdot O_1$

即 洪水追跡의 應用方程式과

$$C_0 = \frac{-Kx - 0.5T}{K - Kx + 0.5T}, \quad C_1 = \frac{Kx + 0.5T}{K - Kx + 0.5T}$$

$$C_2 = \frac{K - Kx - 0.5T}{K - Kx + 0.5T}$$

이상과 같은 Muskingum의 洪水追跡계수가 誘導되는 것이다. 式中 O_1 은 追跡量 O_2 에 대한 先行流出量의 값이고 I_1 은 추적하려는 I_2 에 대한 先行流入量으로 이렇게하면 O_2 와 I_2 는 다음追跡期間에 대한 先行值 O_1, I_1 이 連續的으로 되어가면서 洪水量이 追跡되는 것이다. 그러니까 洪水追跡計算은 단순히 operating equation $O_2 = C_0 I_2 + C_1 I_1 + C_2 O_1$ 의 式을 풀어가는 것이며 T 는 追跡期間으로서 K 와 같은 時間의 單位를 가지며 T 의 길이는 美國의 水文學者 Clark氏에 依해서 $T < K$ 의 조건이 提示되었으며 Muskingum法에서도 마찬가지로 上式의 조건에서 T 는 유입량의 上昇時間의 $1/4 \sim 1/8$ 로 한다. 그리고 C_0, C_1, C_2 의 總和는 반드시 1이 되어야 하며 추적의 始點에서는 $I_1 = O_1$ 의 조건으로 추적을 하여야 한다. (後述例解參照)

b. 類似한 追跡解法의 紹介

日本의 木村氏는 洪水追跡方法에 있어서 追跡上의 重要한 假定은 河川區間이 一定한 物理的性質을 가짐으로써 流出入의 追跡期間에는 그의 現象이 線形條件을 이루어야 한다는 것으로서 貯溜量과 流出量間의 關係를 代表하는 貯溜函數를 가지는 連續方程式을 使用한다. 氏는 또한 定流(Steady flow)와 不定流(unsteady flow) 即 洪水流量의 狀態에 대해서 각각 式을 유도하였다.

Steady flow에 대하여

$$\varphi_s = ds/do = KPQ^{p-1} = PT,$$

φ , 貯溜函數(s 는 Steady flow의 표시)

S , 貯溜量, O , 流出量, Q , 流量으로써 Steady flow 때는 Out flow와 同一, T , 유달시간, P, K 는 常數이다.

Unsteady flow에 對하여

$$\varphi = KPQ^{p-1} = \varphi_s - T^*$$

\bar{Q} , 區間의 平均유량,

T^* , lig time

Steady flow에서는 貯溜函數는 各己 獨立函數로써 φ 는 K 와 T 에 同一하다.

한편 英國의 Nash는 一般의인 洪水追跡의 水文學的인 方程式

$\int I(t)dt - \int O(t)dt = S(t)$ 의 貯溜方程式과 $\varphi = ds/do = K$, 다시 $S = K \cdot O$ 의 式에서 氏는 In flow를 out flow에 대해서 하나의 直線形으로 使用한다고 假定하여 $S = K \cdot O$ 를 t 에 대해서 微分한다.

$$\frac{ds}{dt} = K \frac{do}{dt}$$

이 ds/dt 의 값을 貯溜方程式에 代入하면

$$I - O = \frac{ds}{dt} = K \frac{do}{dt}$$

여기서 $I = K \frac{do}{dt} + O = (KD + 1)O$

式中 $D = \frac{d}{dt}$, 微分導式 그리고 괄호안의 式은 線形導式으로써 流出量 O 는 流入量 I 에 대하여 다음과 같은 關係가 있다. $O(\cdot) = \frac{1}{KD+1} I(\cdot)$

그리고 解釋法으로서 $O = \frac{1}{K} e^{-t/h} \int e^{t/h} I dt$ 式을 갖는다. 그리고 以上の Nash 解法은 Muskingum法과는 달리 $T > K$ 의 條件에서도 關係없이 成立됨이 解釋되었다.

이밖에도 이와 類似한 方法으로 Tatum, Parzen, Farrell氏 등의 方法이 있지만 本稿에서는 省略한다.

V. 머스킹감법에 의한 例解

a. 問題의 概述

다음에 解釋하려는 問題는 筆者가 滯濘中 當地 工大 水文學教室의 研究生으로 在職時 洪水追跡에 대한 研究課題를 받고 Muskingum法에 依해서 解釋했던 것이며 不得已 內國의 河川洪水量記錄值가 無을 이 紙面에 사과하는 바이다.

다음 表1은 1926年 3.24日 - 27日의 4日間에 杼하여 濘洲 뉴우 사우스 웨일스州의 東端 파라리江의 上流部 5,360 mile²의 流域으로부터 降雨에 依하여 集水되어 바른동이라는 地點에 流入된 洪水流入量과 그로부터 35km 下流河川地點 웨링톤에서 觀測한 流出量이다. 이 바른동지점에는 현재 댐을 工事完了하여 大貯水 水源을 이루고 있으며 웨링톤은 重要한 地方都市로서 바른동에서의 洪水流出이 자못 그 被害 또는 影響을 크게 미칠만한 곳이기도하여 洪水追跡과 貯溜量의 解釋은 極 重要한 關心事이다. 이제 洪水追跡의 解釋으로써 실제 흐른 두地點의 流出入 流量圖의 解釋을 試 行하고 이로부터 이 地域에 알맞은 Muskingum 追跡계수 C 와 貯溜계수 K 와 weighing factor x 의 값을 定하여 洪水追跡과 貯溜量解釋에 크게 利用하려는 것이다. 그리고 追跡過程으로써 洪水追跡時間은 4時間

으로하고, 區間의 中間流出(支流流出)은 모두 이 河川 區間의 末端部에서 集中되는것으로 假定하여 計算하였다.

表-1 마파리강 上下流 두地點의 유량도(c.f.s)
(1926. 3. 24-27)

| 日 字 | 時 間 | 바 른 동 | 웨 링 톤 |
|-------|-----|---------|---------|
| 3. 24 | 09 | 4,000 | 1,000 |
| | 13 | 7,000 | 2,000 |
| | 17 | 21,000 | 4,600 |
| | 21 | 60,000 | 17,500 |
| 3. 25 | 01 | 135,500 | 42,000 |
| | 05 | 199,000 | 78,000 |
| | 09 | 152,000 | 109,000 |
| | 13 | 108,000 | 135,000 |
| | 17 | 80,200 | 133,500 |
| | 21 | 62,000 | 116,000 |
| 3. 26 | 01 | 48,000 | 84,500 |
| | 05 | 37,500 | 65,000 |
| | 09 | 29,300 | 50,000 |
| | 13 | 22,500 | 40,500 |
| | 17 | 17,800 | 30,000 |
| | 21 | 14,700 | 21,500 |
| 3. 27 | 01 | 12,100 | 16,700 |
| | 05 | 10,100 | 13,200 |
| | 09 | 8,500 | 10,700 |
| | 13 | 7,300 | 9,200 |
| | 17 | 6,700 | 8,000 |
| | 21 | 6,300 | 7,000 |

b. 貯溜量計算 및 流量圖의 修正

Muskingum의 洪水追跡계수 C 및 貯溜계수 K, x 를 求하기 前에 먼저 實測值에 依한 流量圖를, 이 河川

區間의 中間部에서 中間流出이 發生하여 下流部 웨 링 톤 地點에서 合流할것을 考慮하여 II 項 6 節의 流量圖의 調整概念으로 修正하여 表 2 의 (5), (6) 欄을 얻었다.

修正方法으로서는 流出入 流量圖의 마지막시간 27 日 21 時의 流出入 流量圖 6,300 c.f.s와 7,000 c.f.s의 平均 6,650 c.f.s의 좌표상點에서 부터 流出入流量의 始作點까지 直線을 그으면 24 일의 17.00 時에서 流出量 上昇點과 만나게됨으로 貯溜量은 이점에서 부터 累加하기 始作하나 이 평행선은 大略 流入量의 13.00 時點까지 연결됨으로 09.00 시의 流出入은 無視하고 13.00 時의 유출입량 부터 分析에 넣는다. 이상의 解釋으로 부터 (2)欄의 總和에서 5,500 c.f.s을 減값 1,039,000 c.f.s와 (4)欄의 總和에서 1,500 c.f.s를 減 990,350 c.f.s 사이에는 48,650 c.f.s의 값이 差異가 있는데 이 값은 990,350 c.f.s의 約 5%에 該當되는 값이 (2)欄의 總和에서 不足됨으로 (3), (4)欄의 各時間 增加量에 다 그 增加量의 5% 만큼씩을 보태여 修正해가면 (5)欄의 O_a 와 (6)欄의 \bar{O} 의 修正값이 計算되어 (6)欄의 總和는 (2)欄 \bar{I} 의 總和와 같게되어 流出量의 수정은 끝난다.

다음 貯溜量은 (2)~(6) 으로서 該當時間에 對한 貯溜量 7 欄이 나오며 이를 누적해가면 貯溜曲線이 이루어 진다(8欄). 그리고 다시 이 (8)欄을 에카휘트로 換算하면 (9)欄을 얻을 수 있다.

表-2 流出量 수정 및 貯溜量計算

| 日別 | 時間 | I (1) | \bar{I} (2) | O (3) | \bar{O} (4) | O_a (5) | \bar{O} (6) | $\frac{ds}{t}$ (7) | $\frac{s}{t}$ (8) | 에카휘트 (9) |
|-----|----|----------|------------------|----------|------------------|--------------|------------------|-----------------------|----------------------|-------------|
| 24日 | 09 | 4,000 | | 1,000 | | | | | | |
| | 13 | 7,000 | 5,500 | 2,000 | 1,500 | 2,100 | | | 0.0 | |
| | 17 | 21,000 | 14,000 | 4,600 | 3,300 | 4,900 | 3,400 | 10,600 | 10,600 | 3,540 |
| | 21 | 60,000 | 40,500 | 17,500 | 11,050 | 18,400 | 11,600 | 28,600 | 39,500 | 13,200 |
| 25 | 01 | 135,500 | 97,800 | 42,000 | 29,750 | 44,100 | 31,200 | 66,600 | 106,100 | 35,400 |
| | 05 | 199,000 | 167,300 | 78,000 | 60,000 | 82,000 | 63,000 | 104,300 | 210,400 | 70,000 |
| | 09 | 152,000 | 175,500 | 109,000 | 93,500 | 114,700 | 98,000 | 77,500 | 287,900 | 96,000 |
| | 13 | 108,000 | 130,000 | 135,000 | 122,000 | 142,200 | 128,000 | 2,000 | 289,900 | 97,000 |
| | 17 | 80,200 | 94,100 | 133,500 | 135,250 | 140,300 | 142,000 | -47,900 | 242,000 | 81,000 |
| | 21 | 62,000 | 71,100 | 116,000 | 124,750 | 122,000 | 130,900 | -59,800 | 182,000 | 60,800 |
| 26 | 01 | 48,000 | 55,000 | 84,500 | 100,200 | 88,900 | 105,300 | -50,300 | 131,900 | 44,000 |
| | 05 | 37,500 | 42,750 | 65,000 | 74,750 | 68,400 | 78,400 | -35,650 | 96,250 | 32,000 |
| | 09 | 29,300 | 33,400 | 50,000 | 57,500 | 52,800 | 60,300 | -26,900 | 69,350 | 23,000 |
| | | | 25,900 | | 45,250 | | 47,500 | -21,600 | | |

| | | | | | | | | | |
|----|-------------|-------------|-----------|-----------|-------------|-------------|----------|--------|--------|
| 13 | 22,500 | | 40,500 | | 42,600 | | | 47,750 | 15,900 |
| 17 | 17,800 | 20,200 | 30,000 | 35,250 | 31,500 | 37,000 | - 16,800 | 30,950 | 10,300 |
| 21 | 14,700 | 16,250 | 21,500 | 25,750 | 22,600 | 27,000 | - 10,750 | 20,200 | 6,750 |
| 27 | 01 | 12,100 | 13,400 | 16,700 | 19,100 | 20,000 | - 6,600 | 13,600 | 4,530 |
| | 05 | 10,100 | 11,100 | 13,200 | 14,950 | 15,700 | - 4,600 | 9,000 | 3,000 |
| | 09 | 8,500 | 9,300 | 10,700 | 11,950 | 12,500 | - 3,200 | 5,800 | 1,930 |
| | 13 | 7,300 | 7,900 | 9,200 | 9,950 | 10,400 | - 2,500 | 3,300 | 1,100 |
| | 17 | 6,700 | 7,000 | 8,000 | 8,600 | 9,000 | - 2,000 | 1,300 | 430 |
| | 21 | 6,300 | 6,500 | 7,000 | 7,500 | 7,800 | - 1,300 | 0 | 0 |
| 合計 | 1,049,500 | 1,044,500 | 994,900 | 991,850 | | | | | |
| | (1,045,500) | (1,039,000) | (994,900) | (990,350) | (1,045,500) | (1,039,000) | | | |

저류량 에카휘트 계산 = $\frac{1}{3} \times (8)$ 단

$\therefore 1c.f.s = 1.983 \text{ ac, ft/24hrs.}$

$1c.f.s = \frac{1.983}{24} = \frac{1}{12}$, 시간간격이 4시간임으로 $\frac{4}{12} \times cfs = ac. ft$

c. 追跡에 必要한 諸係數의 算定

1) x 및 K 값의 計算

Muskingum 法에 依해서 洪水를 追跡할 때 가장 重要한 追跡계수 C 값을 求하는데 必要한 weighing factor x 와 貯溜常數 K 에 대한 說明은 既히 前項에서 詳論한 바 있어 本項에서는 說明을 略한다. 다만 x 는 工學的인 分野에서는 0.5 以下의 값으로 應用되고 K 는 流

入量의 무게 重心에서부터 유출량 의 무게 重心까지의 時間과 같다고 證明한 바가 있다. 本문제의 追跡解釋에서는 이 地方의 流域特性을 考慮하여 대개 0.3 前後에 있다고 經驗解釋이 있어 다음과 같이 x=0.25, 0.27, 0.30 의 3 개값으로

$K = \frac{S}{[xI + (1-x)O]}$ 의 式을 利用試算하여 다음 Fig 6에서 x 와 K 를 결정한다. (表3 및 Fig 5, 6 참조)

表-3

$S = K[xI + (1-x)O]$ 의 試算表

x=0.27 로 가정하였을 때

| I (1) | O (2) | x (3) | xI (4) | 1-x (5) | (5)×(2) (6) | (6)+(4) (7) | 貯溜量(에카휘트) (8) |
|----------|----------|----------|-----------|------------|----------------|----------------|------------------|
| 21,000 | 4,900 | 0.27 | 5,670 | 0.73 | 3,588 | 9,258 | 3,540 |
| 60,000 | 18,400 | " | 16,200 | " | 13,432 | 29,632 | 13,200 |
| 135,500 | 44,100 | " | 35,585 | " | 32,193 | 68,778 | 35,400 |
| 199,000 | 82,000 | " | 53,730 | " | 59,860 | 113,590 | 70,000 |
| 152,000 | 114,700 | " | 41,040 | " | 83,731 | 124,771 | 96,000 |
| 108,000 | 142,200 | " | 29,160 | " | 103,806 | 132,966 | 97,000 |
| 80,200 | 140,300 | " | 21,654 | " | 102,419 | 124,073 | 81,000 |
| 62,000 | 122,000 | " | 16,740 | " | 89,060 | 105,800 | 60,800 |
| 48,000 | 88,900 | " | 12,960 | " | 64,897 | 77,857 | 44,000 |
| 37,500 | 68,400 | " | 10,125 | " | 49,932 | 60,057 | 32,000 |
| 29,300 | 52,800 | " | 7,911 | " | 38,544 | 46,455 | 23,000 |
| 22,500 | 42,600 | " | 6,075 | " | 31,098 | 37,173 | 15,900 |
| 17,800 | 31,500 | " | 4,806 | " | 22,995 | 27,801 | 10,300 |
| 14,700 | 22,600 | " | 3,969 | " | 16,498 | 20,467 | 6,750 |
| 12,100 | 17,500 | " | 2,367 | " | 12,775 | 16,042 | 4,530 |
| 10,100 | 13,800 | " | 2,727 | " | 10,074 | 12,801 | 3,000 |
| 8,500 | 11,200 | " | 2,295 | " | 8,176 | 10,471 | 1,930 |
| 7,300 | 9,700 | " | 1,971 | " | 7,081 | 9,052 | 1,100 |
| 6,700 | 8,400 | " | 1,809 | " | 6,132 | 7,941 | 430 |

以上の 表는 x=0.27 일 境遇의 計算表이며 此外 x=0.25, x=0.30 의 경우에 대해서는 表3中 (3)欄과 (5)欄을 0.25, 0.75, 0.3, 0.70 으로 각각 代置하여 同樣으로 試算하였다.

結局에 表3中 (7)欄과 (8)欄을 圖表化하여 x 와 K 값을 決定하게 되며 本稿에서 試算한 3개의 값 x=0.25, 0.27, 0.30 中에서 0.27 로 가정했을 경우가 가장 線形을 이루어 이 문제의 追跡에 대해서는 x=0.27 로 設定

하여 常數 및 計數를 결정한다. 계산된 貯溜常數 K 값은 $x=0.25$ 일 경우 7.88 時間, $x=0.27$ 일 경우 7.65 時間, $x=0.30$ 일 때 7.58 時間으로 각각 계산되었다. (Fig 6 참조)

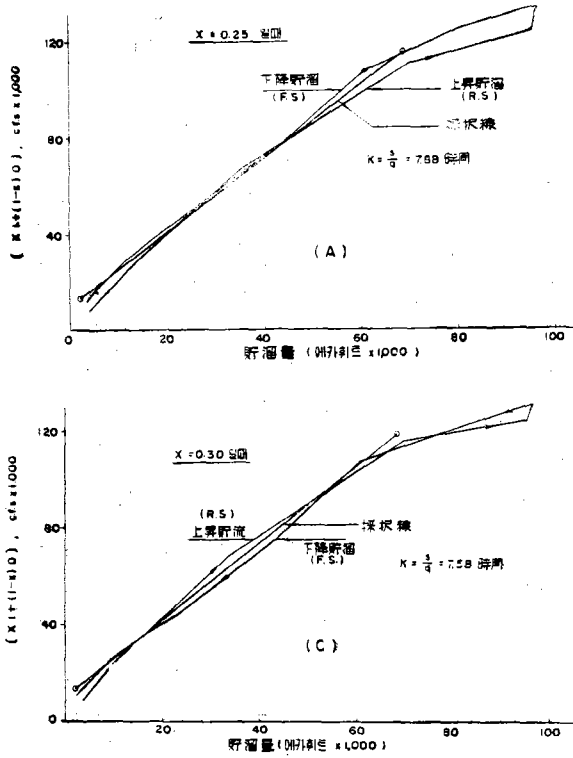


Fig 6. 머스킹감의 貯溜常數 決定圖

2) 追跡係數 C의 算定

Muskingum 洪水追跡의 應用方程式

$O_2 = C_0 I_2 + C_1 I_1 + C_2 O_1$ 에 代入용용시킬 洪水追跡계수는 前述한 바도 있지만 $C_0 + C_1 + C_2 = 1.0$ 이라는 조건을 滿足시키면서 다음식에서 얻는다.

$$C_0 = \frac{-Kx - 0.5T}{K - Kx + 0.5T}, \quad C_1 = \frac{Kx + 0.5T}{K - Kx + 0.5T}$$

$$C_2 = \frac{K - Kx - 0.5T}{K - Kx + 0.5T}$$

에서 $x=0.27$ 일 경우 $K=7.65$ hrs

$$T=4.0 \text{ hrs} \therefore 0.5T=2.0$$

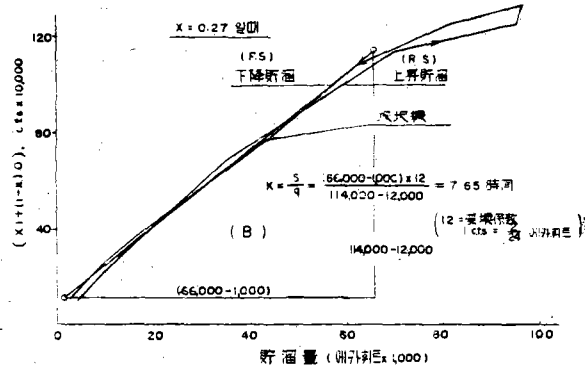
即 上式 "C" 方程式에 代入하여

$$C_0 = -0.008, \quad C_1 = 0.536, \quad C_2 = 0.472$$

를 각각 계산하여 $-0.008 + 0.536 + 0.472 = 1.0$ 을 알았다.

d. 洪水의 追跡

以上的 C 項 2) 節에서 算出한 C 값을 가지고 Muskingum의 追跡應用方程式 $O_2 = C_0 I_2 + C_1 I_1 + C_2 O_1$ 을 應用하여 本流域 流入量에 따라 必然的으로 追跡되어야 할 流出量을 計算한 結果 다음 表 4 와 같으며 이는 $x=0.27$ 일 境遇만인 것이며 $x=0.25$, $x=0.30$ 에 대한 計算式은 省略한다. 그리고 追跡時에는 반드시 처



음 項만은 流入量과 流出量을 同一視하여 始作해야함을 留意해야한다.

한편 流入量對 流出量의 實測에 依한 追跡, 유출량을 수정하여 追跡한 結果와 $x=0.27, 0.25, 0.30$ 으로 계산하여 誘導된 유출량의 比較圖은 Fig 7 과 같고 $x=0.27$ 일 境遇의 流出入 流量圖과 이의 作用時間에 追跡되는 貯溜量關係圖은 Fig 8 과 같다.

表-4

流出 追跡 計算表

| 日 | 時 | I (c.f.s.) (1) | $C_0 I_2$ (2) | $C_1 I_1$ (3) | $C_2 O_1$ (4) | O (c.f.s.) | 備 | 考 |
|-------|----|-------------------|------------------|------------------|------------------|--------------|--------------------------------------------------|---|
| | | | | | | (2)+(3)+(4) | | |
| 3 24日 | 13 | 7,000 | — | — | — | 7,000 | $C_0 = -0.008$ $C_1 = 0.536$ $C_2 = 0.472$ | |
| | 17 | 21,000 | — 168 | 3,752 | 3,304 | 6,888 | | |
| | 21 | 60,000 | — 480 | 11,256 | 3,251 | 14,027 | | |
| 25 | 01 | 135,500 | — 1,084 | 32,160 | 6,621 | 37,697 | | |
| | 05 | 199,000 | — 1,592 | 72,628 | 17,793 | 88,829 | | |
| | 09 | 152,000 | — 1,216 | 106,664 | 41,927 | 147,375 | | |
| | 13 | 108,000 | — 864 | 81,472 | 69,561 | 150,169 | | |
| | 17 | 80,200 | — 642 | 57,888 | 70,880 | 128,126 | | |
| | 21 | 62,000 | — 496 | 42,987 | 60,476 | 102,967 | | |
| 26 | 01 | 48,000 | — 384 | 33,232 | 48,600 | 81,448 | | |
| | 05 | 37,500 | — 300 | 25,728 | 38,443 | 63,871 | | |

| | | | | | | | |
|----|----|--------|---|-----|--------|--------|--------|
| | 09 | 29,300 | — | 234 | 20,100 | 30,147 | 50,013 |
| | 13 | 22,500 | — | 180 | 15,705 | 23,606 | 39,131 |
| | 17 | 17,800 | — | 142 | 12,060 | 18,470 | 30,530 |
| | 21 | 14,700 | — | 118 | 9,541 | 14,410 | 23,833 |
| 27 | 01 | 12,100 | — | 97 | 7,879 | 11,249 | 19,031 |
| | 05 | 10,100 | — | 81 | 6,486 | 8,983 | 15,469 |
| | 09 | 8,500 | — | 68 | 5,414 | 7,301 | 12,647 |
| | 13 | 7,300 | — | 58 | 4,556 | 5,969 | 10,467 |
| | 17 | 6,700 | — | 54 | 3,913 | 4,940 | 8,799 |
| | 21 | 6,300 | — | 50 | 3,591 | 4,153 | 7,694 |

Fig 6. B圖에서 보는 $x=0.27$ 로 假定하여 誘導한 流出量曲線은 Fig 7에서 보는 바와 같이 Peak部分이 實測流量과 若干의 差異를 보였지만 比較的 合理的인 結果가 計算되었다.

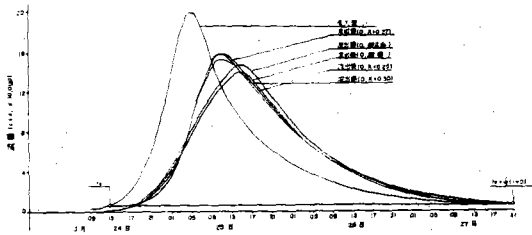


Fig 7. 流入量 對流出量의 比較圖

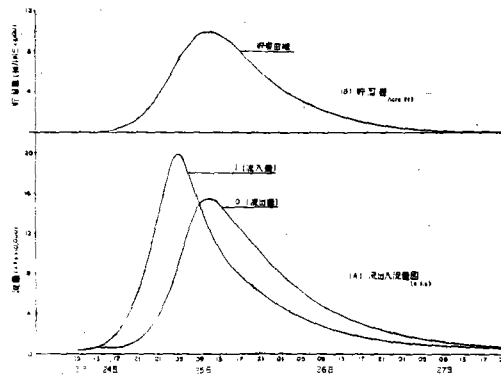


Fig 8. 流入量 流出量 및 貯溜量 關係曲線

V. 結 言

Muskingum 法에 依한 流出追跡方法은 Fig 7, 8에서 보는 바와 같이 實測流入量에 對한 實測流出量의 水文學的인 追跡의 結果와 大同小異한 比較的 合理的인 結果가 算出되어 河川洪水나 流出의 追跡 또는 流域의 地表流出追跡에는 頗 人氣있는 應用方法으로 많이 使用되고 있다. 持히 單一流量의 記錄值만이 있을 경우 一定한 自然河川區間에 對하여 weighing factor x 를 0.0~0.3으로 假定하고 K 를 流域의 流達時間과 同一視하여 追跡계수 C 를 算定하여 洪水追跡에 持히 應用可能한 것이다.

山間地 또는 自然河川의 洪水調節과 그의 對策 그라 고 水資源開發이 必要한 韓國에서는 河川의 洪水追跡, 洪水의 研究와 被害防止를 爲한 洪水豫報 그리고 水資源獲得을 爲한 貯溜量의 解釋 및 流域開發事業에 對한 研究는 河川의 洪水分析과 流出量追跡에 크게 關係있는 것이기에 本拙稿가 水資源開發研究와 流出解釋에 關心있는 本에게 多少라도 參考가 된다면 크게 多幸으로 생각하는 바이다.

參 照 文 獻

- 1) F.M.J Ribeny,
Flood routing with a unit-graph approach,
The Journal of the Institution of Engineers, Australia Jan.-Feb. 1964.
- 2) J.E. Nash,
A note on the Muskingum flood-routing Method
Journal of Geophysical Research, Vol. 64, No 8
Aug. 1959.
- 3) J.R. Burton
Water Storage on the farm, Sec. 9-5 flood routing,
water Research Foundation of Australia Pulletin
No. 9, Vol. 1 Aug. 1965.
- 4) W.P. Creager and others
Engineering for dams, Vol. 1, chapt. 5 Mar. 1944.
- 5) R.M. Ragan (univ. of Vermont),
Lab. evaluation of a numerical flood routing technique for channels subject to lateral in flows, water Resources Research Vol. 2, No. 1 American Geophysical Union 1966.
- 6) V.M. Yevdjovich, (Professor of the Colorado state Univ.)
Effect of sudden water release on the reservoir free out flow hydrograph,
Journal Research of the national Bureau of standards, B-Mathematics and Mathematical physics.
- 7) R.K. Linsley and others,
Applied hydrology (1949) page 488-504
- 8) 朴成宇 外 共譯
水文學 (1965) 페이지 236~239